

# Ligações/Juntas

# Estruturas Aeroespaciais I (10362)

Mestrado Integrado em Engenharia Aeronáutica

2022

Pedro V. Gamboa

Departamento de Ciências Aeroespaciais Faculdade de Engenharia



# 1. Introdução

O fabrico de componentes aeronáuticos envolve geralmente a ligação de um componente com outro.

Por exemplo, o revestimento da fuselagem é ligado às cavernas e/ou aos tensores longitudinais, enquanto o revestimento da asa é ligado às nervuras e/ou tensores.

Com o advento da construção em ligas de alumínio, as juntas rebitadas tornaram-se a forma predominante de ligação juntamente com algumas juntas soldadas e juntas coladas com resina epóxi.

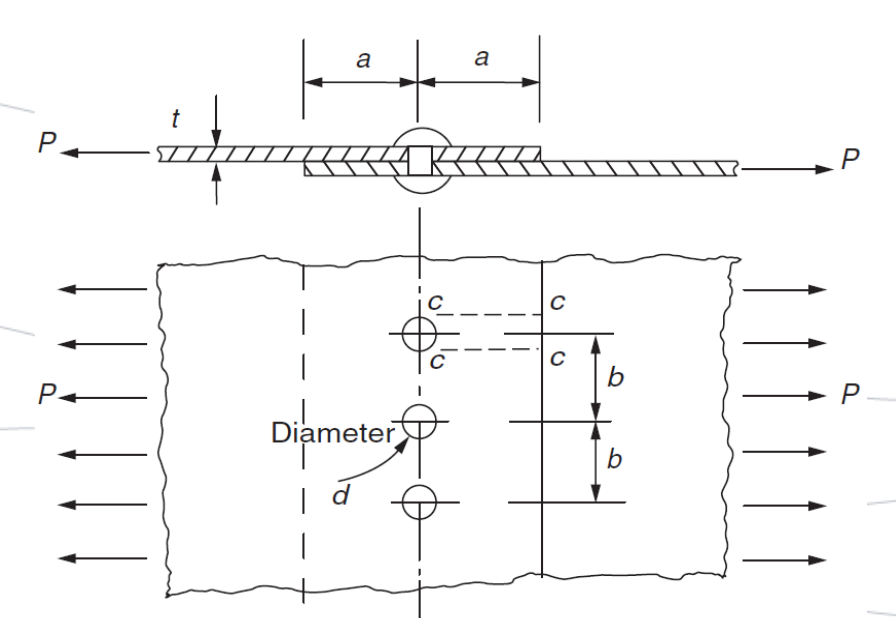
Em geral, as juntas rebitadas são carregadas de forma complexa, e uma análise precisa é comummente difícil de obter devido a descontinuidades na região da junta.

Alguns pressupostos simplificadores relativamente ao funcionamento das juntas são necessários.



A *figura 4.33* mostra duas placas de espessura *t* ligadas por uma linha simples de rebites: isto é uma junta sobreposta, a mais simples usada.

Suponha-se que as placas têm um carregamento nas extremidades de P por unidade de largura, que os rebites têm diâmetro d e um espaçamento b e que a distância dos rebites à aresta da placa é a.



**Figura 4.33** Junta sobreposta simples rebitada.



Existem quatro modos de falha possíveis que têm que ser considerados:

- corte nos rebites
- compressão nos furos
- tração das placas
- corte nas placas.



### 2.1. Corte nos rebites

Os rebites podem falhar ao corte no seu diâmetro no interface entre as placas.

Assim, se a tensão de corte máxima que os rebites suportam é  $\tau_1$ , então a falha ocorre quando

$$Pb = \tau_1 \left( \frac{\pi d^2}{4} \right)$$

o que dá

$$P = \frac{\pi d^2 \tau_1}{4b} \tag{4.37}$$



### 2.2. Compressão nos furos

Tanto os rebites como a placa podem falhar devido à pressão no furo/rebite.

Suponha-se que  $p_b$  é a pressão de falha, então a falha ocorre quando

$$\frac{Pb}{td} = p_b$$

e então

$$P = \frac{p_b t d}{b} \tag{4.38}$$



### 2.3. Tração nas placas

A área da placa sob tração ao longo da linha de rebites é reduzida devido à presença dos furos dos rebites.

Assim, se a tensão de rutura da placa é  $\sigma_{ult}$ , a falha ocorre quando

$$\frac{Pb}{t(b-d)} = \sigma_{ult}$$

o que dá

$$P = \frac{\sigma_{ult}t(b-d)}{h} \tag{4.39}$$



### 2.4. Corte nas placas

A falha ao corte das placas pode ocorrer nos planos *cc* (*figura* 4.33), o que leva os rebites a serem arrancados da placa.

Se a tensão de corte de rutura da placa é  $\tau_2$ , a falha deste tipo ocorre quando

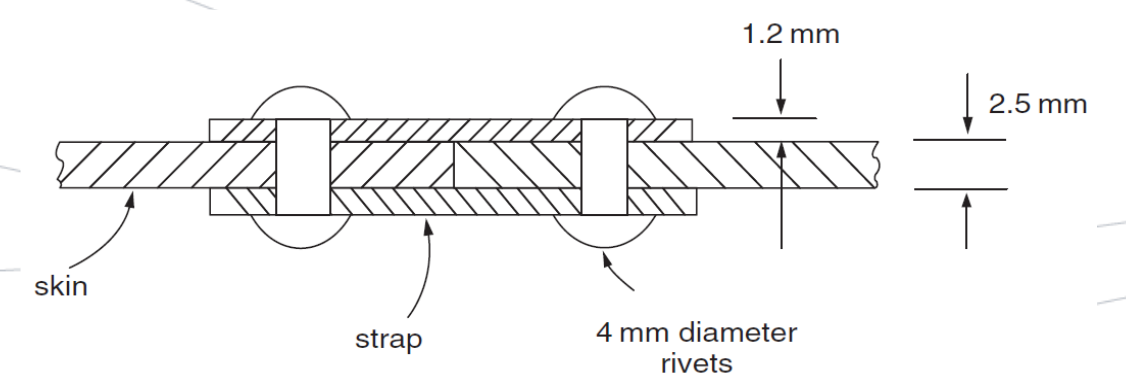
$$Pb = 2at\tau_2$$

o que dá

$$P = \frac{2at\tau_2}{b} \tag{4.40}$$



**Exemplo 4.17**: A junta da casca de uma fuselagem é construída rebitando as duas chapas entre duas placas como mostra a *figura 4.34*. A espessura da casca da fuselagem é 2,5 mm; cada placa tem 1,2 mm de espessura; e o diâmetro dos rebites é 4 mm. Sabendo que a tensão de tração na casca não pode exceder 125 N/mm² e que a tensão de corte nos rebites está limitada a 120 N/mm², determine o espaçamento máximo entre rebites permitido de forma a que a junta seja tão forte à tração quanto ao corte.



**Figura 4.34** Junta do *exemplo 4.17*.



## 2. Eficiência da junta

A eficiência de uma junta ou ligação mede-se pela comparação da carga real de falha com a carga que seria necessária caso não houvesse furos na placa.

Assim, para a junta da figura 4.33 , a eficiência da junta  $\eta$  é dada por

$$\eta = \frac{\sigma_{ult}t(b-d)}{\sigma_{ult}bt} = \frac{b-d}{b}$$
 (4.41)



## 3. Juntas rebitadas em grupo

Os rebites podem ser agrupados de cada lado da junta por forma a maximizar a eficiência da junta.

Suponha-se que duas placas são unidas como mostra a *figura 4.35* e que são necessários seis rebites de cada lado.

Assumindo que cada rebite suporta a mesma força, então o rebite isolado da linha aa suporta um sexto do carregamento total.

Os dois rebites da linha bb suportam dois sextos da carga e os três rebites da linha cc suportam três sextos.

Figura 4.35 Junta rebitada em

grupo.



# 3. Juntas rebitadas em grupo

Na linha bb, a área da secção transversal é reduzida por dois furos de rebite e na linha cc por três furos de rebite.

Em termos relativos, a junta é tão forte nessas secções quanto na secção aa.

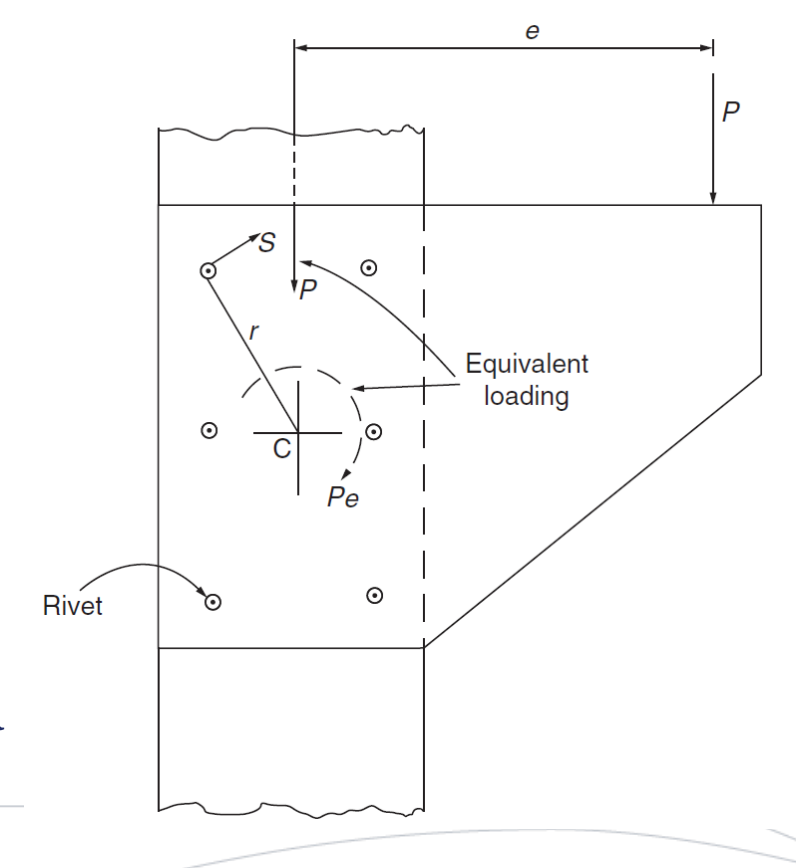
Assim, obtém-se uma eficiência da junta mais elevada do que se tivesse os rebites agrupados em duas linhas de três.



A ligação mostrada na *figura 4.36* suporta uma força *P* deslocada do centroide de um grupo de rebites.

O grupo de rebites está sujeito a uma força de corte *P* que passa no seu centroide e a um momento *Pe* em torno do centroide.

Assume-se que a força de corte *P* é distribuída igualmente pelos seis rebites, provocando uma força de corte em cada rebite paralela à linha de ação da força *P*.



**Figura 4.36** Junta carregada excentricamente.



Assume-se que o momento *Pe* produz uma força de corte *S* em cada rebite, onde S atua numa direção perpendicular à linha que une um dado rebite ao centroide de todos os rebites do grupo.

Além disso, o valor de *S* tem que ser proporcional à distância do rebite ao centroide do grupo de rebites.

Assim,

$$Pe = \sum Sr$$

Se S=kr, onde k é uma constante para todos os rebites, então

$$Pe = k \sum r^2$$



de onde se obtém

$$k = \frac{Pe}{\sum r^2}$$

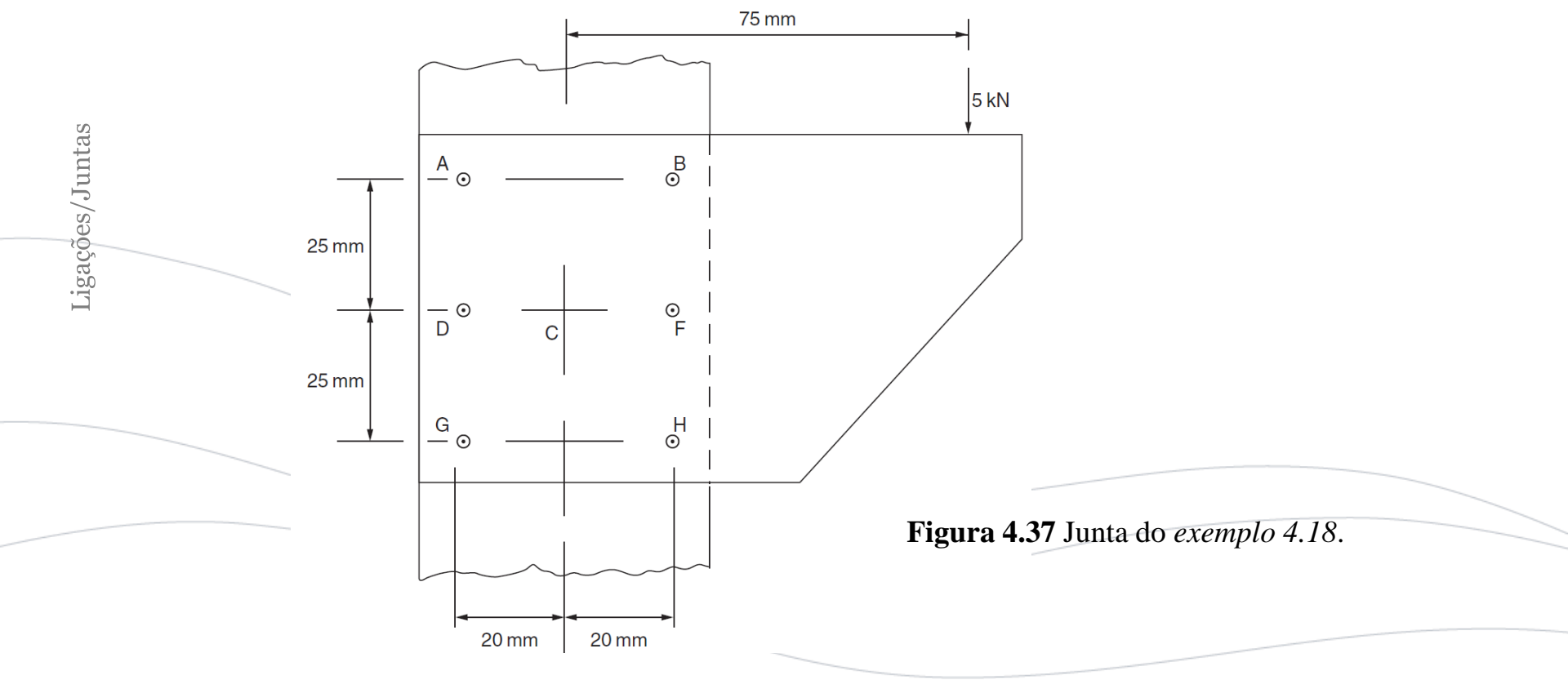
e

$$S = \frac{Pe}{\sum r^2} r \tag{4.42}$$

A força resultante num rebite é a soma vetorial das forças resultantes de *P* e de *Pe*.



**Exemplo 4.18:** A junta da *figura 4.37* suporta uma força excêntrica de 5 kN. Determine a força de corte resultante nos rebites A e B.

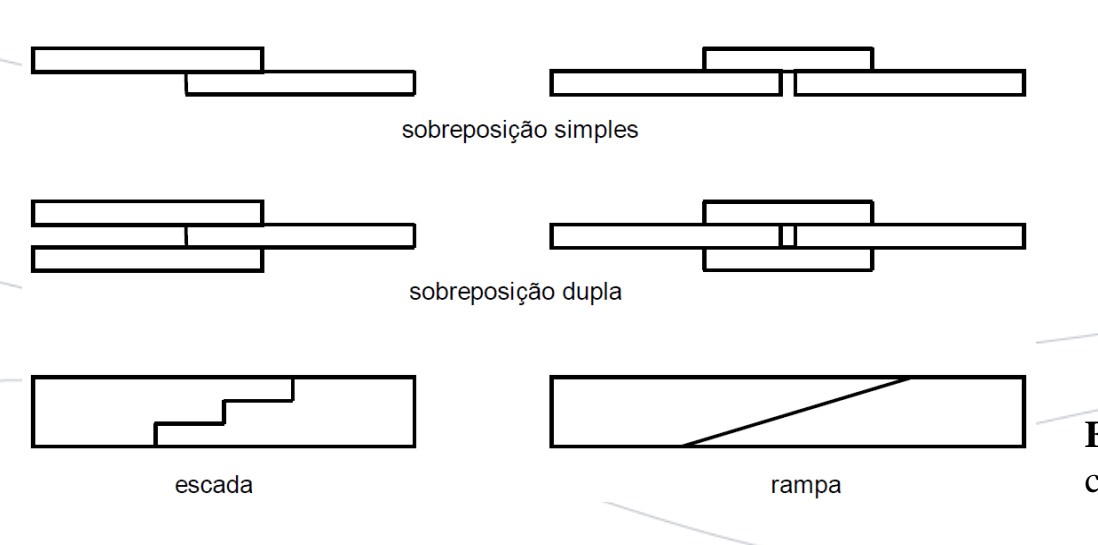




## 5. Juntas coladas

Para além das juntas rebitadas, as juntas coladas também têm tido extensa aplicação na fabricação de aeronaves.

O adesivo mais usado nestas juntas é a resina epoxídica pois tem boas propriedades de adesão, pouca contração durante a cura resultando em baixas tensões residuais, boas propriedades mecânicas e boa estabilidade térmica.



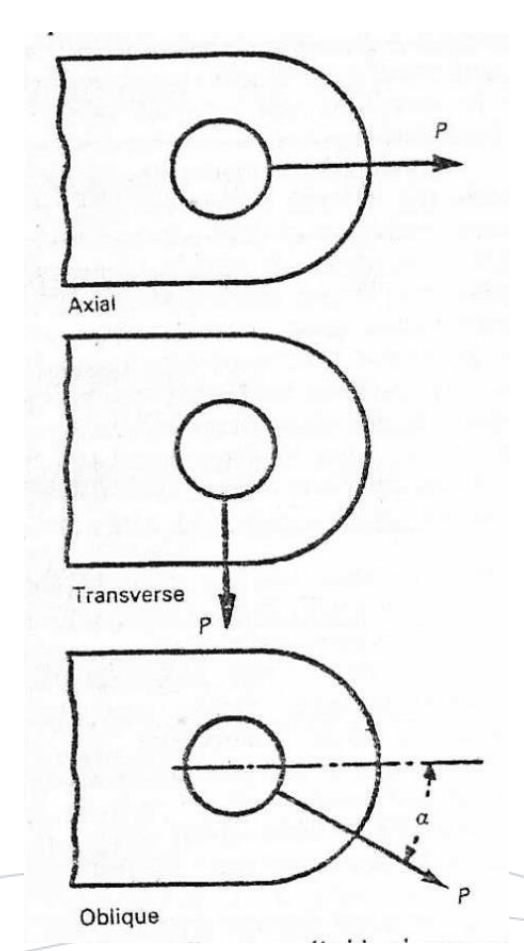
**Figura 4.37** Juntas coladas mais comuns.



No projeto de olhais podem ser considerados carregamentos estáticos axiais, transversais e oblíquos como mostrado na *figura 4.38*.

Vamos ver a análise para olhais em liga de alumínio ou aço.

Introduz-se um fator de eficiência de tensão para ter em conta o efeito de concentração de tensões.



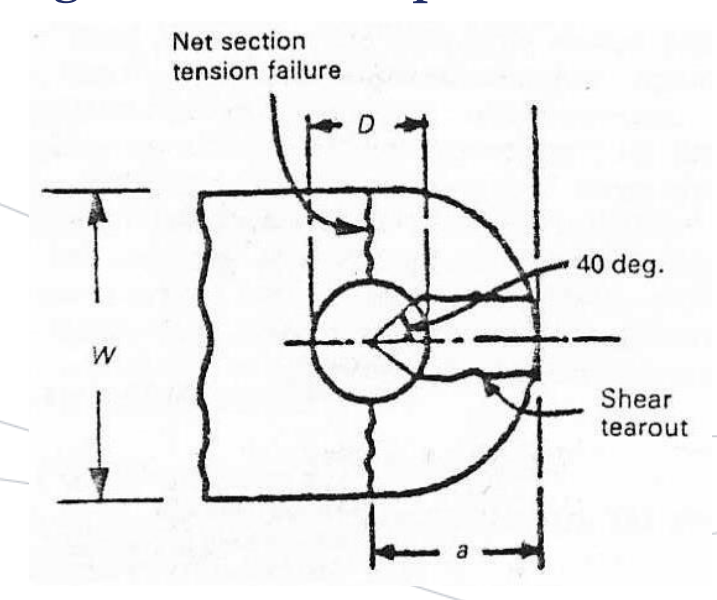
**Figura 4.38** Três tipos de carregamento no olhal.



### 6.1. Olhais carregados axialmente

Existem três modos de carregamento (figura 4.39):

- Tração na secção efetiva
- Arrancamento por corte, assumindo que a força é transmitida em planos a 40°
- Carregamento à compressão



**Figura 4.39** Modos de falha de um olhal sujeito a um carregamento axial.



### 6.1. Olhais carregados axialmente

Pode considerar-se que os modos de corte e de compressão são um único modo e que a carga final admissível neste modo de corte-compressão é

$$P_{bru} = K_{br} A_{br} F_{tu} (4.43)$$

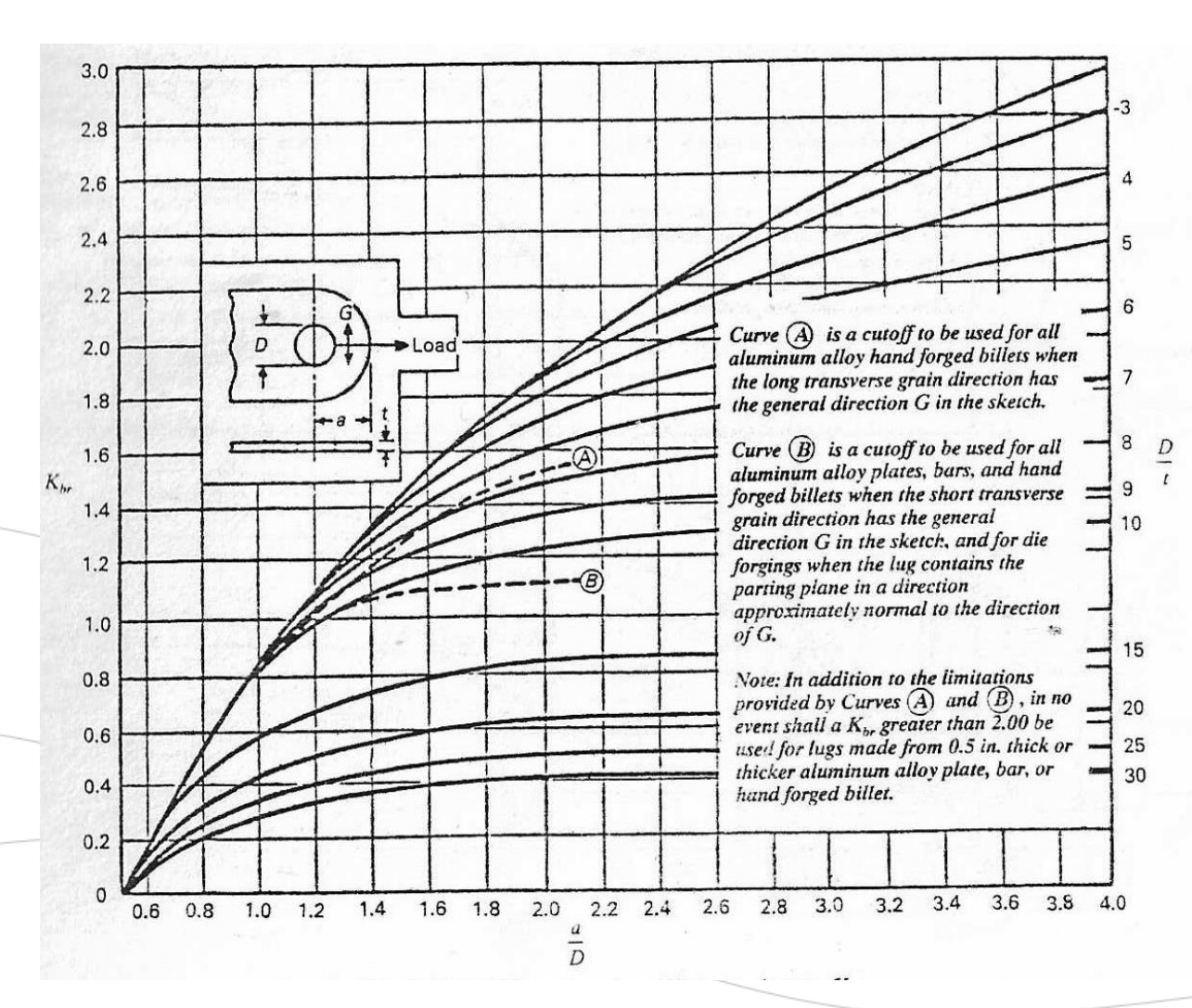
onde  $K_{br}$  é o fator de eficiência no modo de corte-compressão (figura 4.40),  $F_{tu}$  é a resistência à tração do material e  $A_{br}$  = Dt é a área de compressão.

D e t são o diâmetro do furo e espessura do olhal, respetivamente.

Para uma gama de formas de olhais encontrados na prática, depende da razão a/D e da razão D/t, onde a é a distância desde o eixo do furo até à borda do olhal.



## 6.1. Olhais carregados axialmente



**Figura 4.40** Fator de eficiência no modo de cortecompressão  $K_{br}$ .



### 6.1. Olhais carregados axialmente

A carga final admissível no modo de tração é

$$P_{tu} = K_t A_t F_{tu} (4.44)$$

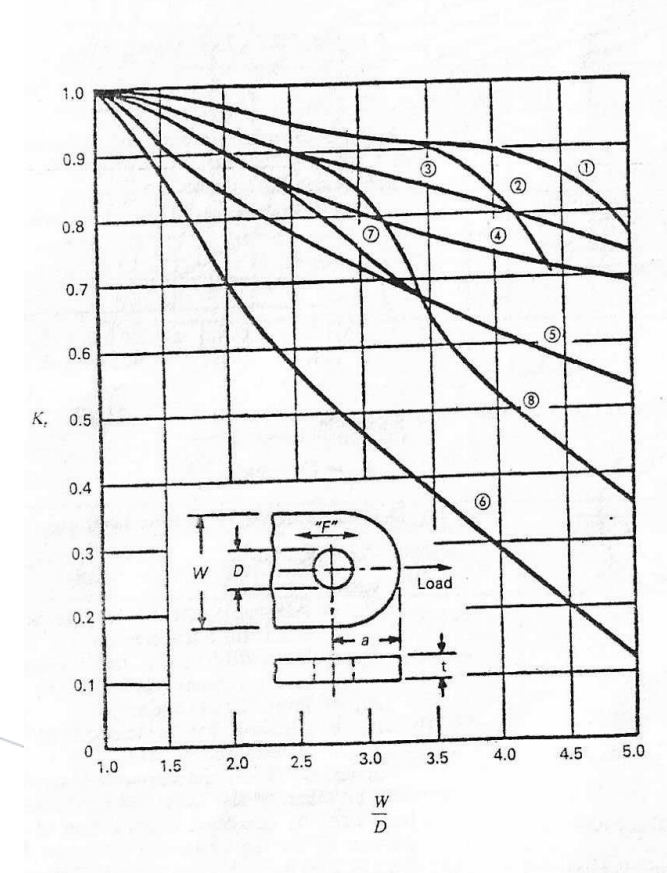
onde  $K_t$  é o fator de eficiência no modo de tração (*figura 4.41*) e  $A_t = (W-D)t$  é a área efetiva de tração.

W é a largura do olhal.

Para uma gama de formas de olhais encontrados na prática, depende da razão W/D e do tipo de liga de alumínio ou aço usada.



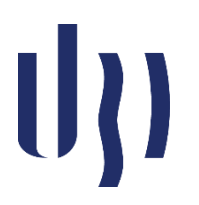
## 6.1. Olhais carregados axialmente



**Figura 4.41** Fator de eficiência no modo de tração  $K_r$ .

Legend L, LT and ST indicate grain in direction F in sketch: Aluminum designation: 14S-2014 245-2024 75S-7075 Curve ① 4130 steel 14S-T6 and 75S.T6 plate ≤ 0.5 in (L, LT) 75S-T6 bar and extrusion (L) 14S-T6 hand forged billet ≤ 144 sq in (L) 14S-T6 and 75S-T6 die forgings (L) 14S-T6 and 75S-T6 plate > 0.5 in , ≤ 1in 75S-T6 extrusion (LT, ST) 75S-T6 hand forged billet ≤ 36 sq in (L) 14S-T6 hand forged billet > 144 sq in (L) 14S-T6 hand forged billet ≤ 36 sq in (LT) 14S-T6 and 75S-T6 die forgings (LT) Curve 3 24S-T6 plate (L, LT) 24S-T4 and 24S-T42 extrusion (L, LT) Curve @ 24S-T4 plate (L, LT) 24S-T3 plate (L, LT) 14S-T6 and 75S-T6 plate > 1 in (L, LT) 24S-T4 bar (L, LT) 75S-T6 hand forged billet > 36 sq in (L) 75S-T6 hand forged billet ≤ 16 sq in (LT). 75S-T6 hand forged billet > 16 sq in (LT) 14S-T6 hand forged billet > 36 sq in (LT) Aluminum alloy plate, bar, hand forged billet, and die forging (ST) 75S-T6 bar (LT) 18-8 stainless steel, annealed 18-8 stainless steel, full hard. Note: for  $\frac{1}{4}$ ,  $\frac{1}{2}$  and  $\frac{3}{4}$  hard,

interpolate between Curves T and ®.



## 6.1. Olhais carregados axialmente

A carga axial de cedência atribuída ao modo de corte-compressão é dada por

$$P_{y} = C \frac{F_{ty}}{F_{tu}} \min(F_{bru}, F_{tu})$$
 (4.45)

onde C é o fator de cedência ( $figura\ 4.42$ ) e  $F_{ty}$  e  $F_{tu}$  são a tensão de cedência à tração e a resistência à tração do material transversalmente ao grão, respetivamente.

A carga de cedência admissível no casquilho é

$$P_{bry} = 1.85 F_{cy} A_{brb} (4.46)$$

onde  $F_{cy}$  é a tensão de cedência à compressão do material e  $A_{brb}$  é a menor área de compressão entre o pino e o casquilho ou o casquilho e o olhal.

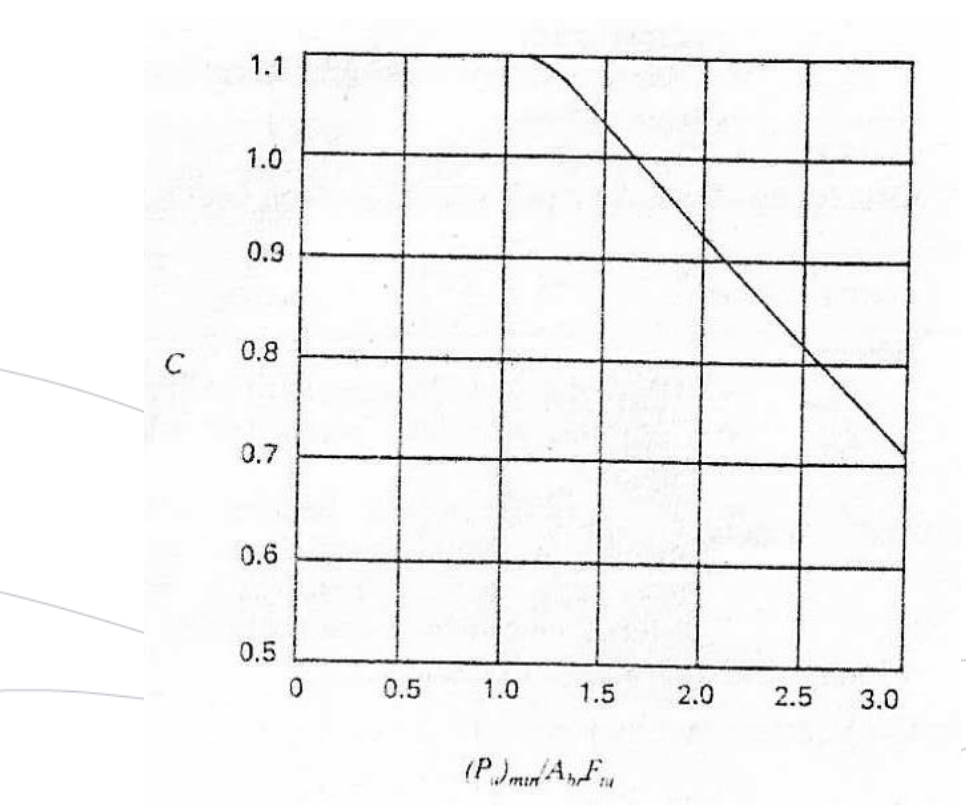


Ligações/Juntas

#### 6. Projeto e análise de olhais

## 6.1. Olhais carregados axialmente

Para se dimensionar o olhal é necessário calcular as margens de segurança e definir D, t, a e W.



**Figura 4.42** Fator de cedência *C*.



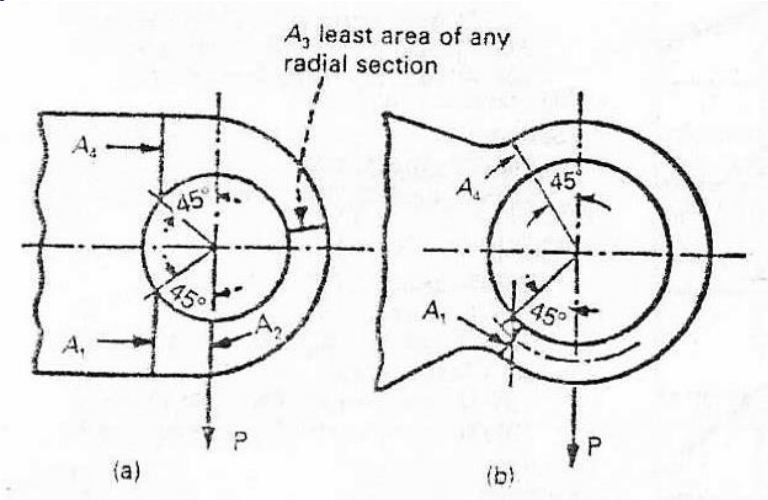
# 6.2. Olhais carregados transversalmente

A *figura 4.43* mostra a geometria do olhal com carregamento transversal.

As áreas  $A_1$ ,  $A_2$ , e  $A_4$  são medidas nos planos indicados na *figura* 4.43a que são perpendiculares ao eixo axial.

No caso de haver um pescoço,  $A_1$  e  $A_4$  devem ser medidas perpendicularmente à linha de eixo local como na *figura 3.43b*.

 $A_3$  é a área mais pequena em qualquer secção radial à volta do furo.



**Figura 4.43** Posição das áreas de secção transversal  $A_1$ ,  $A_2$ ,  $A_3$  e  $A_4$ .

Ligações/Juntas

#### 6. Projeto e análise de olhais

# 6.2. Olhais carregados transversalmente

Uma vez que a escolha das áreas e do método de ponderação das áreas se baseia em olhais com as formas da *figura 4.44*, é necessário garantir que com outras geometrias as áreas escolhidas  $A_1, A_2, A_3$  e  $A_4$  permitem representar a resistência de forma

adequada.

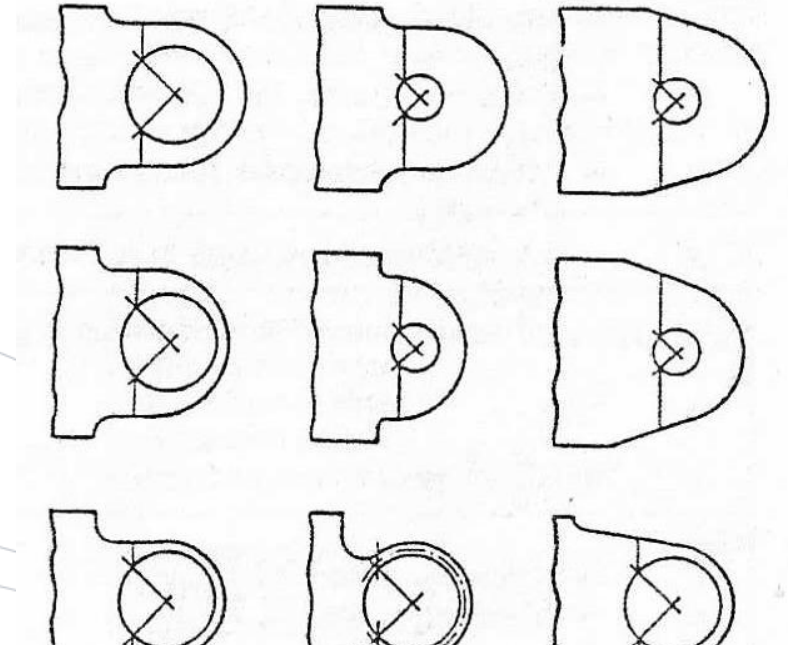


Figura 4.44 Formas de olhais.

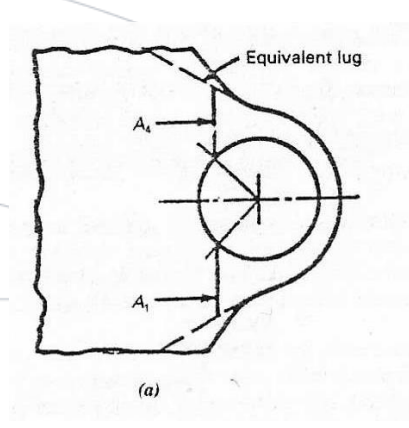


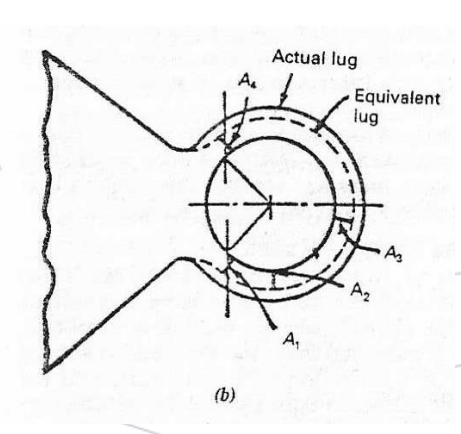
# 6.2. Olhais carregados transversalmente

No caso de o olhal ter uma forma pouco usual, é necessário representar um olhal equivalente, como mostra a *figura 4.45*, para se usar a análise aqui apresentada.

Obtém-se a área transversal ponderada na forma

$$A_{av} = \frac{6}{\frac{3}{A_1} + \frac{1}{A_2} + \frac{1}{A_3} + \frac{3}{A_4}} \tag{4.47}$$





**Figura 4.45** Olhal equivalente de uma forma pouco usual.



# 6.2. Olhais carregados transversalmente

e a razão de áreas

$$K_{av} = \frac{A_{av}}{A_{hr}} \tag{4.48}$$

A carga transversal final admissível é

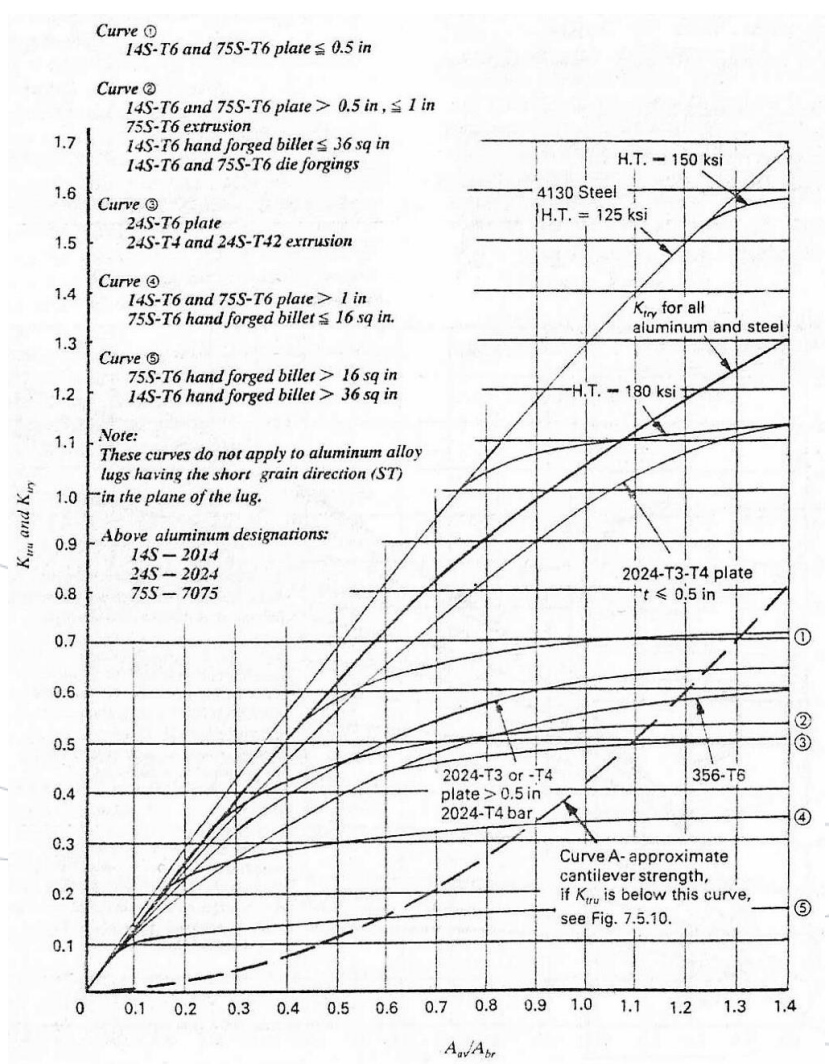
$$P_{tru} = K_{tru} A_{br} F_{tux} (4.49)$$

onde  $K_{tru}$  é o fator de eficiência para carga transversal final (*figura* 4.46),  $F_{tux}$  é a resistência à tração do material perpendicular ao grão e  $A_{br} = Dt$  é a área resistente projetada.

Em nenhuma situação, a força transversal admissível deve ser considerada inferior àquela que uma viga encastrada com a mesma secção transversal pode resistir conforme mostra a *figura 4.47*.



# 6.2. Olhais carregados transversalmente



**Figura 4.46** Fator de eficiência para carga transversal,  $K_{tru}$ .



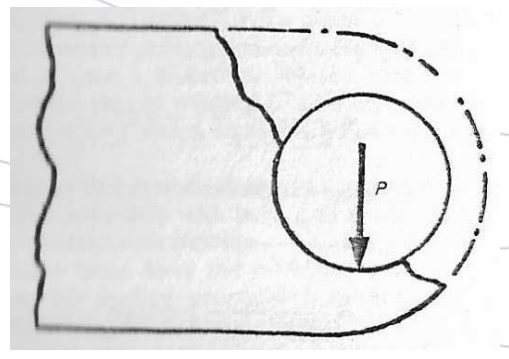
# 6.2. Olhais carregados transversalmente

A linha A na *figura 4.46* mostra a resistência da viga encastrada. A carga de cedência admissível do olhal é

$$P_{try} = K_{try} A_{br} F_{tyx} (4.50)$$

onde  $K_{try}$  é o fator de eficiência para carga transversal de cedência (figura 4.46),  $F_{tyx}$  é a tensão de cedência à tração perpendicularmente ao grão do material.

É necessário calcular a carga admissível no casquilho (*equação* 4.46) e as margens de segurança.



**Figura 4.47** Ação da viga encastrada na porção do olhal sujeito ao carregamento.